

激光测振

(译文集)

浙江大学激光仪器专业

1975·10

PDG

一. 几种激光测振方法简介

摘要

用激光技术检查和测量宇宙飞船模型在振动台上的振动研究进行了四个月，现已告一段落。测量的振幅范围小于半时峰间值，频率在10~7000赫之间。研究过八种不同的系统，其中三种是微波副载波激光调幅系统，用解调后的副载波信号的相移来检测反射表面振动。另两种是相干光检测系统，检测光载波的相移。还研究了干涉测振技术，它在某些方面和全息摄影类似。一般看来，相干检测系统用于测量低于一微米或更小的峰值振幅，甚至用于漫射表面都是很有效的。微波系统灵敏度最高。干涉测振系统可以给出表面摆动或法线位移梯度的直观显示，这样就可提供有价值的最大和最小位移差形。这些系统大部分都经过试验，其结果与所分析的情况相当符合。本报告对每种方法进行了详细描述，对不同系统的相对性能进行了比较，并推荐了对未来最切实可行的研究技术。

引言

研究的目的是为了寻求用激光技术检查和测量机械振动的方法。虽然上述提到的激光技术也可用于其他方面，如传感回校准和精密位移测量，而这里专门只用于测量宇宙飞船模型在振动台上的振动位移。

根据系统分析的目的，把检查和测量问题规定为下述几方面：

1. 振动物体可能有形状不规则的广扩表面。光学上，表面分为单向反射和漫反射，其中漫反射是主要的，因为大多数表面属于漫反射。运动表面的峰间值偏移可大到半时，而最小偏移可任意小。不过，室内振动和冷热气流通过光路时可对频率低于100赫振幅仅几个微米的振动测量产生时延干扰，这就是说振幅的下限约为一微米。除测量表面位移外，还希望对表面进行扫描找出若干最大偏移点。

2. 振动的频率范围是10赫到2000赫。因为宇宙飞船模型是在振动台上激励的，所以大部分振动测量都在表面进行，而且表面按已知频率的正弦波运动。又因大型机械结构的共振频率很低

所以最大偏移可能发生在最高的频率上。

3. 所用激光角必须尽量小而简便。激光凹或光学检测凹最好避免使用精细与冷却系统，通常这套系统的振动表面很近，有效范围从几微米到几百微米。事实上，作为一种测量工具，对系统的主要要求是工作可靠、稳定和无需经常维修。这些要求实际上排除了使用除氦氖激光凹之外的所有连续波激光源的可能性。出于对检测凹和调制的考虑，同时操作要简便，应使用可见光谱而不用红外光谱。做为比较计数的基础，我们取波长为6328埃，选出了两个有代表性的功率输出。在希望单频工作的相干检测系统中，功率取为0.1毫瓦。其他系统，功率可取为3毫瓦，实际在不足购买的民用元件中已达到了这个要求。以下各节中的数字计数都基于漫反射表面的最坏状态，漫反射表面距光接收凹3呎远，接收凹光圈直径为3吋。

以下各节将对各系统进行描述。在各系统的讨论中，包括灵敏度计数，主要部件介绍及试验测量的结果，还包括表明需要哪些部件的各系统简述。最后一节对各种技术性能进行了简单地比较，并选出了对将来有研制价值的一些系统。

检测技术

为了测量可移动的反射凹的运动分量，这里研究几种相位相干、空间相干及调制激光强度的方法。这些研究的有效应用，主要有测量垂直于表面的偏移分量和角偏转或者测量表面中围绕着某轴的分量摆动。对这两种运动形式的检测方法进行了分析研究。

通常，运动表面的检测是通过观察对光载波进行幅值调制的高频率副载波的相位和频率的效果，或观察反射光载波本身的相位和频率变化实施的。此外，表面有反射光波的作用，它改变着光相对于接收凹在空间的方向。这样反射光的投射角随目标的位置而变化，并可以被检测。所有研究的振动测量技术都适用于上述一般分类。

用副载波方法时，振动产生的相移正比于振动振幅和副载波之比，很明显，尽可能应用高频率副载波或调制频率这样可以实现高效率的调制和检测。用最佳工艺状态下的调制凹和检测凹，其频率可能接近微波范围的S波段。因此，副载波技术属于

微波系统。

用光载波时，仅一光光电检测器是不能检测出在应用中产生如此小的频率变化。需要采用某种光学干涉方法把反射信号的光学相位变化转变为强度变化（即干涉条纹），这种相位变化可由光电检测器检测。由激光透镜分出的参考光束可与信号光束在接收光学系统中汇聚而产生干涉，在此系统中，参考光束常称为“本机振荡光束”，该技术术语来源于射频接收机。用参考光束检测就是众所周知的相干检测法。如果参考光束或本机振荡光束的频率和传递信号的光束频率一致，此系统就是相干光学相位检测系统或称为“零差系统”。若参考光束频率与传递信号光束波长之间有频移，平方律光电检波器就在两束光中间的差频或中频产生电差拍，此系统称为“外差”检测或相干光学中频检测系统。显然，相干相位检测或零差检测是外差检测在中频为零的特殊情况。

如果光学零差法中的光电检测器用有足够的分辨率的较大照相机代替，并去掉接收机的光学系统，若曝光时反射面镜子不动，这样由反射光和参考光产生的干涉条纹就可以记录下来。这种照相记录称为全息摄影，同时用显影的负片可重现表面的三维形象。应强调指出，全息摄影必须用参考光束，如表面为漫反射，则没有参考光束也会产生干涉，这种自身干涉产生有名的“闪光条影”，它在漫反射激光中始终出现。这些干涉条纹不仅与表面位置有关，这些条纹是干涉位移检测技术的基础。

微波副载波系统

这里分析三种不同的微波副载波系统，每种方法都用光一电调制器，按微波速率改变传递的激光强度。在实际装置中，只有光强的某一部分受到调制，这些强度变化表示在光载波上具有副载波色散，这可由光电检测器检测。这种光电检测器应具有足够的高频率性能来感应副载波频率的强度变化。当调制光束被运动表面反射时，副载波色散相位按下式随时间变化：

$$\Phi(t) = \frac{4\pi X_0}{\lambda_m} \cdot \sin \omega_p t$$

式中 X_0 是零一峰值间的振动幅度， ω_p 是振动频率， λ_m 是微

波副载波波长。假设副载波频率为34兆周/秒， λ_m 为10厘米，同时较小振幅的鉴值相位偏差远小于一个弧度，表面振荡状态的信息在反射光中以相位随时间改变而后产生的副载波边带形式表现出来。对较小的鉴值相位偏差，电位计头跟着确定给定系统的最大灵敏度。只有前两个边带是有意义的（严格的表达式给定一组具有贝塞尔（bessel）函数幅度的无限多边带，其中大多数项可以忽略不计）。在这种情况下，可由下式近似地给出反射光强的频谱

$$P = \frac{P_0}{2} \quad (\text{光调制光})$$

$$+ \frac{MP_0}{2} \cdot \sin \omega_m t \quad (\text{副载波频率})$$

$$+ \frac{MP_0}{\lambda_m} \cdot \frac{\pi X_0}{\lambda_m} \cdot \sin(\omega_r + \omega_m) \cdot t \quad] \quad (\text{上带})$$

$$- \frac{MP_0}{2} \cdot \frac{\pi X_0}{\lambda_m} \cdot \sin(\omega_m - \omega_r) \cdot t \quad] \quad (\text{下带})$$

式中 ω_m 是微波信号，M是入射光的调制指数， P_0 是反射功率。必要的接收机的带宽正是所测振幅频率的最大范围。因此，任何可应用的微波系统必须能从接收机超过要求带宽的噪音中检测出边带的振幅。应当说明，上述表达式只是对光功率的；电路中解调功率的各光谱分量与上述各式中每项的平方成正比，这点很重要，因为信噪比通常用直接测量的电子量表示。

由光电池副载波供给接收放大器第一级的电噪音率可表示为

(原译文遗漏公式)

式中 F = 前端噪音系数

K = 玻耳兹曼 (Boltzmann) 常数

T = 绝对温度

B = 接收机灵敏度

= 电子 定前量

I_0 = 全功率的平均光电流

几 = 电流放大倍数，检波副载波为任意值

$R_{eq} = \text{等效检测口输出阻抗}$

上式第一项是免不了的，但第二项，或称散粒效应噪音分量，取决于光电检测口暗电流和光信号感生的光电流，在无放大作用的检测口中，比如半导体二极管，在低亮度级时，主要是热噪音，对高亮度级或对有明显放大作用的元件，散粒效应噪音较大，通常检测口的质量由它的噪音等效功率(NEP)来决定。这就是在给定的检测口和带宽内可以检测的最小输入光信号。

光电检测口的另一个重要特性是对光学信号的响应，光电检测口是平方律元件，这就是说，光电流I和输入光功率P成线性关系：

$$I = SP = \frac{n\epsilon}{hV} \cdot P$$

式中 S 是检测口的灵敏度，安培/瓦， ϵ 是量子效率， h 是普朗克(Planck)常数， V 是光波频率，检测口输出的射电信号功率为

$$P_s = \frac{1}{2} I_s^2 (N^2 R_{eq})$$

式中 I_s 是由束流的光输入信号功率产生的峰值光电流。

由上式关系，就可很容易地对不同系统的性能做出评价。

直接相位检测系统——这种方法是最简单的微波技术，并在此项计划时，早已做过实物实验，图 1 是直读系统的简图。副载波在反射后由检测口接收再现，检测口可用光电池或固态二极

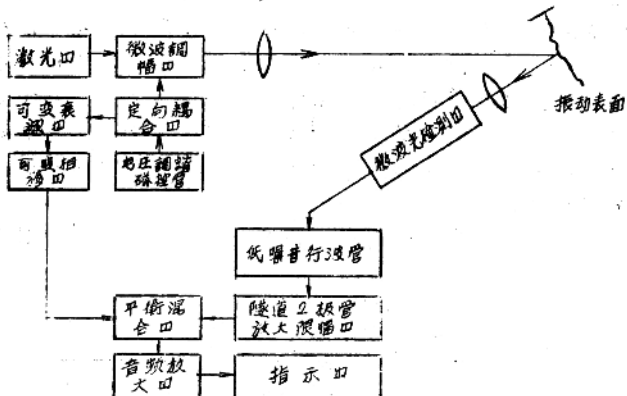


图 1 微波直接相位检测系统

管。用二极管，缺点是无放大作用，且有效输出阻抗最好也不过几百欧姆。但，固态量子效率可接近于1。为了进行比较，Sylvania 公司的行波光电倍增管在大电流时 ($n^2 Reg$) 为 6×10^9 赫姆，光电管阴极的量子效率约为 10^{-3} 。因为表征量子的价值参数是 $n^2(n^2 Reg)$ 所以上述管子比最近的二极管还好。在目前使用的 S-1 型的基础上，还可能再生产出各种光电倍增管，性能将不断改进。本研究工作中所选用的管子是根据计划和部分试验确定的。

微噪音行波放大器和隧道二极管谐振器用于抑制由于表面漂动、激光强度波动和其他效应在接收信号中引起的低频幅值波动。平衡混合四进一步抑制两微波输入信号的振幅调制。

送用电压调谐磁控管作光调制器的微波激励四，调制四功率要求在1到2瓦等幅波之间。它可用伺服控制系统调节，这部分在图1中没有画出。预选时，调制四共振频率允许有20兆周/秒的漂移。该伺服系统在调制空腔中或附近有一只传感器，对空腔场中的相位和振幅取样，通过信号经过窄带电子设备，得到使振荡四跟踪空腔谐振所需要的调谐电压。这次研究中没想搞温度系统。但如果发生四手动跟踪不理想时，就必须搞一套伺服机构。

定向耦合四，衰减四和可变相移四为平衡混合四提供参考信号，即本机振荡信号，以便便检测40度相移有正确光相位和幅度。混合四要求本机振荡四的功率约为10毫瓦。试验发现，在测量振幅不变的振动表面时，用最大限度地输出音频信号能简单地实现相位调节。

将微波信号直接混合成音频差，能使混合四噪音降低约10分贝。这样做并不影响本系统性能，因为显著的放大和动态范围压缩是在混合级之前进行的。光检测四中并没有太大的（散粒效应）噪音。微波噪音是由前边的行波放大器引起的。如下面所述，微波四本质上是被看作理想的接收四，同时本系统的限制仅限于光学方面。

由上述对边带的分析，及检测四输出信号和噪音的表达式，检测四的信噪比应是：

$$\frac{S}{N} = \frac{\frac{1}{2} \left(\frac{n e}{h V} \right)^2 \left(\frac{\pi \rho M P_0 R_r X_0}{\lambda_m} \right) (n Reg)}{F k T B + 2 e B \cdot \frac{n e}{h V} \cdot \frac{\rho P_0 K_r}{2} (n^2 Reg)}$$

式中， P_0 是激光输出功率， ρ 是表面反射像数， K_r 是反射到接收凹的传递光的几何分量。对单向反射表面 K_r 可能等于 1，但对漫反射表面 K_r 为：

$$K_r = \frac{D^2 \cos \theta}{4D^2}$$

式中， d 为接收凹直径， D 是接收凹到表面的距离， θ 是接收凹和表面法线之间的夹角（通常 $\cos \theta$ 近于 1）。

设 $S/N=1$ ，求得最小可测振动幅度 X_0 为：

$$X_0(\text{min}) = \frac{[2FKTB + 2eB \frac{n\epsilon}{h\nu} (\rho P_0 K_r) (n^2 R_{eq})]^{\frac{1}{2}}}{\frac{n\epsilon}{h\nu} \cdot \frac{\pi \rho M P_0 K_r}{\lambda m} (n^2 R_{eq})^{\frac{1}{2}}}$$

如果选取下面给出光参数的典型值，可获得用微米表示光灵敏度。

令：

$$P_0 = 3 \text{ 毫瓦}$$

$$M = 0.1$$

$$B = 10^4 \text{ 赫}$$

$$KT = 4.1 \times 10^{-21} \text{ 基耳}$$

$$F = 3$$

$$\lambda_m = 10 \text{ 厘米}$$

$$n = 6 \times 10^{-4} \text{ 电子/光子}$$

$$e/h\nu = 0.5 \text{ 库仑/焦耳 (波长} = 6328 \text{ \AA})$$

$$K_r = 1.7 \times 10^{-3} \text{ (漫反射表面)}$$

$$\rho = 0.1$$

$$n^2 R_{eq} = 10^9 \text{ 欧姆}$$

按上述数据，微波直接相位检测系统最小可测振动幅度 $X_0(\text{min})$ 为 1.8 微米。这么大的移动用肉眼就可以很容易地看到，这样，该系统就不可能以这种带宽来测量漫反射表面的移动。

该试验用光学元件不同于分析模型之处仅仅在于其表面是较弱的镜面。用 $B = 10^4$ 赫的频谱分析接收凹，测出载波信噪比约为 30 分贝。使用混合凹和几亿赫兹级，并对微波相位做适当调整，则 1 微米的振动可用调谐电压表测出，並可在监控耳机中听到。

实验中发现，限幅凹已将由于表面摆动而产生的较大的假调幅信号消除。简言之，直着系统对单向反射表面已达到预期效果，其灵敏度达千分之几时或更低。

中频检测系统——图2是这种检测技术的简框。这展系统的接收凹和前面谈到的一种不同，供给微波混合凹的本机振荡信号

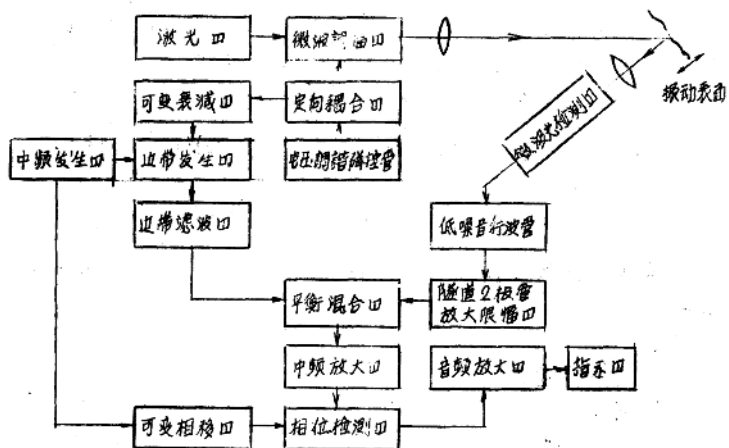


图2 微波中频检测系统

有近于100兆周/秒的频移，为此要用中频发生凹和边带滤波凹。当信号输入时，微波混合凹在近于100兆周处产生拍频。第二混合凹，即相位检测凹，用于解调因表面运动对中频产生的相位调制。这种混合直到音频放大凹是分两步进行的，这就改进了混合凹噪音特性。又因限制在中频放大凹部分，就可以使光电管输出直接供给第一混合凹。如前节所指出的，混合凹噪音总是忽略不计的，因此，在该技术中以加复杂性就没有必要了。

灵敏度与上节所分析的直接微波相位检测系统相同。

双调制系统——上述系统性能的主要限制是微波光电管的量子效率太低，为避免上述问题，分析并试验了另一种方法，如图3所示。这里相位解调不用高频检测凹，通过微波光调制凹对反射凹的光进行微波频率的门控，半透射镜或分脉后经反射及1/4

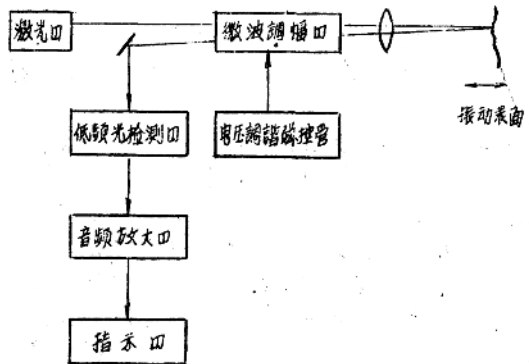


图 3 微波双调频系统

波光可使光在同一光学系统中透射和吸收，这时，重调信号将出现音频的强度变化，光腔振荡产生的副载波相位的变化而变化。在这些频带中，实际上低噪音光电管和二极管都可以应用。

附加一个外部可调光路，使第二次调制与第一次产生 90° 相移，被检测的光功率如下式：

$$P = P_r \left[1 + M^2 \frac{2\pi X_0}{\lambda_m} \cdot \sin \omega t \right]$$

式中， P_r 是直向光检测器的平均功率，在这些频率范围内，检测器噪音由 NEP 确定，对硅二极管可为 10^{-9} 瓦，对优质的 (S-20) 光电倍增管为 10^{-11} 瓦。在信噪比公式中，以 NEP 代替热噪音，可得：

$$\frac{S}{N} = \frac{\left[2\pi M \cdot \frac{X_0}{\lambda_m} X_r \rho P_r S \right]^{\frac{1}{2}}}{4eK_r P_0 SB + 2(\text{NEP})^2 S^2}$$

式中 S 为检测器的灵敏度，安培/瓦。

求出 X_0 的最小值：

$$X_0 (\text{min}) = \frac{\lambda_m [4eK_r P_0 SB + 2(\text{NEP})^2 S^2]}{2\pi M K_r \rho P_r S}$$

取 $S = 0.025$ 安培/瓦的光电管和 0.25 安培/瓦的二极管，高能表

明，光电管是散粒效应噪音限制的，故与其他微波系统相同的参数为。 $X_0(\min) = 0.11$ 厘米。对于二极管，NEP项是主要的，最小可测量位移约为 $1/2$ 厘米。这比其他副载波系统预想的灵敏度要好些。

该检测系统用 1.5 千兆周和 1.4 千兆周两种频率在实验室里做了多次实验。使用这两种频率是因为在山坡段可应用的调节指针比在 S 波段约大 50%。这些实验暴露了该系统的一个重要缺点，这在分析结果时已预感到。由于表面摆动引起较大的假幅度波动，它不能检测出副载波的相移。就是把摆动镜放在透镜焦距上

即使几何光学原理减少角灵敏度也同样检测不出副载波相移

且有两处主要原因，在上面给出的关于副载波解调光功率的表达式中，因为 M^2 接近于 10^{-3} ，入射检测口中的光的调制部分显然是全部能量非常小的部分。这样，由于激光噪音或反射光偏转而产生的大幅度变化将压倒有效信号。另一处原因是，副载波音频解调是用光学方法进行的。在检测前消除大幅度变化也是不可能的，因此，该系统能否达到理论上的性能极限也是值得怀疑的，即使改进调节口，使 M 几乎近于 1 也不行。如果这问题部分地解决，那么双调系统将具有不要求带微波四件的优点，并可广泛地使用光学检测口。

相干光学检测方法

由摆动引起的光学载波的相移可用干涉方法解调，这时需将信号光束和做为相位参考的本机振荡光束混合起来。当两束光合成一束线射入光检测口，则输出电流和总入射电场平方成正比。这电流可写成：

$$i(t) = I_{L0} + I_{SIG} + 2\sqrt{I_{L0} I_{SIG}} \cdot \cos(\omega_{L0} t - \omega_{SIG} t + \phi_{L0} - \phi_{SIG})$$

式中 I_{L0} 是由本机振荡光束电场产生的直流电流， I_{SIG} 是由信号光束产生的直流动电流， ω_{L0} 和 ω_{SIG} 是本机振荡口的频率和相位， ϕ_{L0} 和 ϕ_{SIG} 是信号波的频和相位。显然，前面项表示平均电流，这有助于研究有关频率范围内的散粒效应噪音。余弦项的有效值 (rms) 为 $\sqrt{2I_{L0} I_{SIG}}$ ，是拍频输出并表示外差信号或零差信号。通常本机振荡电流大于信号电流，这样，本机振荡电流所产生的散粒效应噪音成为接收口的主要噪音，随本机振荡电流以大

· 拍频和散粒效应噪音电流 $\sqrt{2eI_{L0}B}$ 也同时以大，这样，对较大
的本机振荡电流 I_{L0} 可写成：

$$\frac{S}{N} = \frac{2 I_{L0} I_{SIG}}{2e I_{L0} B} = \frac{I_{SIG}}{eB}$$

这表示理想接收机性能， I_{SIG} 和光学信号输入功率 P_{SIG} 的关系为：

$$I_{SIG} = \eta \frac{e}{h\nu} P_{SIG}$$

或者为

$$\frac{S}{N} = \eta \frac{P_{SIG}}{h\nu B}$$

令 $S/N = 1$ ，则最小可检测功率为：

$$P_{SIG(min)} = \frac{1}{\eta} \cdot h\nu B$$

对于理想的接收机，如果波长为 6328\AA ， $B = 10^4$ 周/秒 时， $\eta = 1$ ，则：

$$P_{SIG(min)} = 3.2 \times 10^{-14} \times 10^4 = 3.2 \times 10^{-15} \text{ 瓦}$$

这种非常小的功率级表明相干检测器的灵敏度高。还应注意，仅 $1/2$ 光波波长的总表面运动就能改变光的相位，由此拍频的相位也改变 2π 弧度。这表示相位调制量大，所以上面所导出的最小功率也就是要求测量小到 3200\AA 或 3.2×10^{-5} 厘米的偏转的近似最小值。对较大位移， ϕ_{SIG} 随多次变化后，会因反射光的多普勒漂移而偏离它的平均值。对于峰值振幅为 X_0 ，频率为 f_r 的正弦振动，若用于测量的激光波长为 λ_0 ，则最大漂移表示为：

$$\Delta f = \frac{2 X_0 \omega_r}{\lambda_0} = 4\pi f_r \frac{X_0}{\lambda_0}$$

如果 10 赫的半间漂移为 $1/2$ 时，离开平均拍频的最大多普勒漂移则近似为 1.3 光周/秒。因此，检测机必须有很好的频率响应曲线。如果在 $\omega_L = \omega_{SIG}$ 时，要求带宽为 1.3 光周，或 $(\omega_{L0} - \omega_{SIG})$ 调制到高于 1.3 光周的中间拍频时，则要求有 2.6 光周的带宽。

所有的普通光电倍增管和一些光电二级管都可以提供上面两种情况的足够频率响应。光电倍增管因理想的放电效应噪音的限制，要求本机振荡功率相当小；又因为这种装置中的倍增管电极结构有较高的以益和均匀的响应，所以尽管 S-20 倍增管的 $\eta = 0.05$ ，而优质硅二级管 $\eta = 0.5$ ，但还是倍增管比二级管好。

对于速比 η_0 小的倍增，可用与微波副载波相类似的分析方法。调相边带的功率分量必须大于噪音。如果适当调节本机振荡光束的相位或频率，解调这些边带，那么：

$$X_0(\text{min}) = \frac{\lambda_0}{2\pi} \left(\frac{S}{N} \right)^{-\frac{1}{2}}$$

式中 S/N 是未调制的载波信噪比，或者

$$X_0(\text{min}) = \frac{\lambda_0}{2\pi} \left(\frac{hVB}{\eta P_{\text{sig}}} \right)^{\frac{1}{2}}$$

所有这些分析都是用单频激光二工作时，使用中等和大功率的激光二，必须考虑多模振荡工作的影响。主要影响是在干涉时产生重迭的拍频分量，每支激光二模有一个模态，每分钟的相位与达到表面的光程有关。又因为这些模态有 100 到 500 赫周/秒的频差，所以这些重迭的拍频分量每增加几吋光程就改变一次相对相位。实验结果表明，能观察到的纯拍频信号在一定的距离内是很小的。同时，如果激光二是单色的，那么它可以周期地变大。这些最大信号的表面位置被准确地间隔为一个激光二的空腔长度。因此振动表面就应该安装在产生最佳信号几吋的位置上。

另外，多模激光二可能有输出噪音，因为若多模振荡频率并没有被准确均匀地间隔开，而且有无规则的相对相位。这种本机振荡光束中的噪音可能严重地降低相干接收二的灵敏度。

可以看到，在离表面很近的地方使用该系统时，市售的小功率单频激光二比用特殊控制的激光二有利。选用现有四件，单频功率输出可达 0.1 瓦。使用这种激光二，取 3 吋光孔和 3 英寸的距离，使 P_{sig} 达到 10^{-8} 瓦是比较合理的。再用一只 S-20 型光电管和效率为 $\eta = 10^{-2}$ 的滤波二，可得：

$$X_0(\text{min}) = 5.7 \times 10^{-8} \text{ 厘米}$$

在实际应用中，激光凹和光路凹件的振动，光路中气流的影响和表面干涉效应，都可能降低信噪的最小值。所以对灵敏度较现实的估計是取 X_0 (min) 近似等于 10^{-4} 厘米。

相干光学相位检测系統——如果表面振动近似于正弦振动並远大于光波波長可用相干零差检测法。这时本机振荡凹频率和平均信号频率相同。這套相位检测系統实际上是带有光电检测凹加門控計數凹的瓦克尔逊干涉仪。並非是諺系繞筒並，输出光路系統把传進光聚焦在表面一点上，這是有效地進行光混頻的必要条件。所有通过信号和本机振荡光束的光学部分，必须把像差很好地限制在衍射极限之下；不然混合波波阵面将改变相位和互相抵消。半透明鏡安置的角度偏差应小于光波波長与鏡面光束直径的比。实际系統中的角度偏差为千分之几弧度。

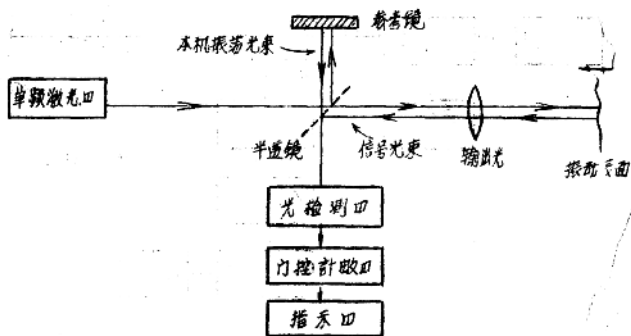


图4. 相干光学相位检测系統
(图5因底色不清，从略。——譯註)

因为调幅一般在反射光中出現，因此也在检测凹输出中出現，所以計數凹里頭有一箇限幅電路。限幅電路中的失真分量將與由高速度引起的多普勒分量占據的頻帶一致。因此數字式的計數凹（無取過零點的數目）肯定比模擬式（用調諧環凹）要好。因为計數凹的触发電路肯定不能录噪音，所以最大拍頻頻率確定了系統接收凹的頻帶寬度。因此系統的信噪比可比理論上最大值降低約30分贝；即或不降低信噪比，由于相干检测灵敏度高，本系統也可以应用。計數凹的門仅在已知振動周期內打開。

計你通过零点的数目，這可由振荡器的参考信号來控制，或在計數器中用檢測器指示零拍時間。

這套系統在實驗室中已組裝起來。試驗時在振動台上裝一弔鍛鋁的鏡面，用頻譜分析儀和示波器代替計數器。本系統工作情況和預想的基本相同，首先是光電檢測器輸出波形（无限調制的）的照片，通過示波器並示很容易測出正負于 10^{-4} 呎米的偏轉，較大值可以從頻譜分析儀中指示的邊帶範圍中估計出來。試驗中注意到，激光頻率較穩定，運動鏡對反射光的分離都沒有什麼嚴重問題。

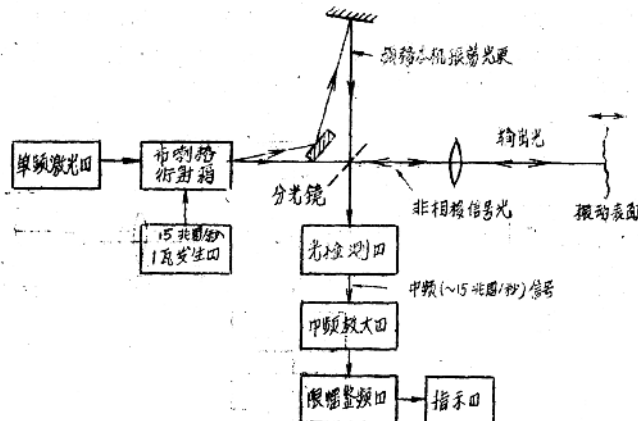


圖 6 相干中頻檢測系統（查了底並不清楚從哪一詳註）

相干中頻檢測系統——用現代技術可以把激光載波轉換成新的光頻率，它與原來的輻射頻率不同，這可用各種直帶擴闊調制技術或聲衍射技術進行。對於相干差動接收器中的本機振盪器，不受各種假調制影響是非常重要的，而通常接收器的電路可能產生干擾，因為實際的濾波器不可能以足夠窄的帶寬分離出由激光頻率調制產生的光學邊帶。用上面談到的方法很難获得足夠純的光譜。但是，衍射方法能引起邊帶空間分離，因此，就避免了构成調制的重疊頻率，同時載波邊帶分離在光源光學系統中是很有用的。目前這種檢測方法是選用聲衍射技術。

衍射長頻率，或叫布喇格衍射箱，有一弔水箱，在水里用一

块大石英换能凹产生行进的射频声波，进入衍射箱的光，因运动的声波波阵面引起密度变化而衍射，在输出中有几束光或几个衍射阶出现，没有发生衍射的光仍保持原有频率，称为零阶分量。如果声波宽几厘米和输入功率约1瓦，就会发现某一角度上的大部分光属于零阶和一阶衍射，且大小相同，这要求仔细调整声波与光波之间的角度；当这种状态出现时，第一阶光束的频移等于反射镜中反射光的多普勒频移，反射镜在行声波方向上以音速运动着。由于衍射角和声波频率间的关联，发现多普勒分量对于第一阶衍射正好等于声波频率，这种关联因光波波长和声波衰减而限制了频移的有效范围，用这种方法获得的频带范围为5~50兆周/秒，最佳性能近于15兆周/秒，這是較大石英换能凹容易获得的频率。

因为因表面运动引起的最大多普勒频移只有几兆周/秒，所以对目前的应用，15兆周/秒的中频也是合适的。兹把应用布喇格衍射箱的相干中频系统方块图。本系统光学元件和透镜调准公差和相干光学相位检测系统相同，但是，由于感应式限幅开关产生的失真至少离通带中心有15兆周/秒，而且可以被滤掉，所以在这种情况下可以使用鉴频凹，因此，虽然仍需要有足够的信号通过前级检测凹噪音的带宽使限幅凹工作，然后后级检测系统的带宽可以像音频一样窄，如果用光电倍增管，大部分中频放大将在管内进行，电路的噪音值不会影响性能，如果用鉴频凹，其后必须有音频电路，对最低振动频率以上的频率分量积分，以便在输出时把被鉴频凹加强的高频噪声。

在研制中，对本系统的光学部件进行了试验，实验结果很好：对于单向反射表面和漫反射表面，在射频频谱分析接收凹上都可以观察到外差信号，被测振幅达到1/4吋，实验用单频119型激光凹，输出功率为0.1毫瓦，光电检测凹为RCA7265型光电管，带S-20阴极，频谱分析凹显示的波形如图7所示。

在这些实验中，预料由于表面干扰而引起的信号波动都能清楚地看到：在几分之一的振动周期内，信号常常下降20多分贝。因此，对任何工作在漫反射表面的相干系统都需要有一定的限制。

这种方法总的灵敏度比研究时试验过的任何方法都好，尽管这种方法应用了许多新概念和部件，但在工程制造时完全可以简

化，取得合理的尺寸和功率要求。

光点摄影系统

如果运动表面属于漫射类型，把一束或几束激光投射到表面上，并用光学接收凹把直些反射光收集起来，测量运动产生的效应，就能得到某些运动部件的信号。一种方法是直观地测量光点的明显运动，还利用激光光路的相干性。该系统称为非相干光点摄影技术。另一种方法是投射两个光点，并利用从这两个光点反射光波之间的干涉，因为利用了激光的相干性，所以称为相干光点摄影技术。

— 非相干光点摄影系统 — 该系统如图 8 所示。激光光束在振动表面上投出一个很小的光点。一部分反射光汇聚到接收凹的矩形光孔中，在接收凹的聚焦平面上，由于表面运动，使光点影像产生横向运动。如果把一个刀缘光栏放在距光点影象后面不远的地方，在这里光束被扩散成一个矩形。影象运动会影响通过光栏的部分光的大小。实际上，光栏平均遮住光束的一半。调整焦点后面一段距离，可在线性范围内获得最大预想影象位移。通过刀缘光栏的功率大小，由光电检波器测量，检测凹的电流输出是沿投射光束轴向表面位移的线性模拟量。

测量振动的动态范围正好等于检测凹的平均光电流和噪音电流的比，同时也是最大预计振动和最小可测振动振幅的比：

$$\frac{I_n}{I} = \frac{P_n}{P_r} = \frac{X_0(\max)}{X_0(\min)}$$

式中 I_n 是噪音电流，与光功率 P_n 对应， I 为反射光产生的平均光电流，与接收凹的光功率 P_r 对应。

对于一般的几何尺寸和 3 瓦瓦的传递光，光电管的散粒效应噪音可能被控制，那么：

$$\frac{X_0(\max)}{X_0(\min)} = \sqrt{\frac{2hVB}{\eta P_r}}$$

如 $X_0(\max) = 1/4$ 时（峰值），那么最小的位移 $X_0(\min)$ 约为 5×10^{-4} 厘米（有效值）。

有意义的是，如果最大位移不大于光波波长，应用优良的光